

国产純鐵的軋制与再結晶織構*

戴礼智 張信鉉

(鋼鐵工業綜合研究所)

提 要

用極圖与金相研究工業純鐵的軋制与再結晶織構和組織。熱軋后的試樣經過兩種冷軋方法：(1) 壓下率為 98.8%，與 (2) 壓下率為 64.5%，中間 700°C 熱凍；二次冷軋和壓下率 63.5%。試樣在氬氣中分別于 (a) 650° 和 (b) 1000°C 熱凍。

第一類材料的軋制織構經測定為 $(100)[011] + (112)[\bar{1}\bar{1}0] + (111)[11\bar{2}]$ 。試樣在 α 與 γ 区域熱凍后的主要取向為 $(100)[011]$ 和 $(111)[11\bar{2}]$ 。

第二類材料的軋制織構與第一類相似，惟偏離角度較大。表面與內部織構不同。第二類材料熱凍后的再結晶織構與軋制織構基本上相似，金相組織顯出第二次再結晶現象。

一. 引 言

電解鐵的軋制和再結晶織構曾為 Kurdjumov 與 Sachs^[1] 所研究。在這工作里，他們也進行了克虜伯廠軟鐵的研究，但沒有特別說明這些材料的純淨度。他們指出了所用材料的壓下率為 98.5%。從這工作以後到現在，對於純鐵織構的研究，據我們所知似乎還沒有發表過，雖然這種材料無論在科學上或工業上都有其重要性。

Gensamer 和 Lustman^[2]，Gensamer 和 Vukmanie^[3] 曾進行過冷軋和熱軋低碳鋼擇尤取向的研究；同樣地他們也用了極高的壓下率，材料冷軋後的厚度成原有的 97.5%。他們僅研究了臨界溫度 A_1 以下的再結晶織構。低碳鋼的再結晶織構，在這以前已為 Goss^[4] 所注意到和較詳細地考察過，但是他沒有應用極圖的方法。

純鐵和低碳鋼經過二次冷軋，中間熱凍的織構研究，上述作者均未進行。

近年 Goss^[5] 進行了溫度對於低碳鋼的軋制織構效應的研究，平均軋制溫度由 0° 到 370°C。

本試驗所用的材料為最近國內所生產的工業純鐵，主要目的在闡明冷軋壓下率極高，如引述的文獻中所進行的一樣，和壓下率較低，二次冷軋和中間熱凍，軋制織構的差別。由於近十五至二十年來，含矽(Si)百分之三左右的低碳矽鋼在工業上應用的重要性，許多研究工作者對它的織構進行了研究。含矽百分之三左右的矽鋼在廣泛的溫度範圍內為單相的體心立方晶系合金；純鐵從室溫到高溫中間經過相變。因此我們也着重在 α 和 γ 溫

* 1957年4月17日收到。

度再結晶的組織和取向考查。立方金屬的形變和再結晶組織的形成是近年許多科學研究者所關心的一個問題，通過這實驗希望有助於豐富我們在這方面所積累的數據和知識。

研究工業純鐵是利用極圖，因為對敘述試驗的結果來說，極圖是完善和可靠的方法。

二. 實驗經過

本試驗所用材料系上海鋼鐵公司平爐冶煉的工業純鐵。鋼錠熱軋成扁鋼，化學成分經鋼鐵工業綜合研究所分析如下：

C	Si	Mn	S	P
0.02%	痕跡	0.030%	0.017%	0.004%

試樣的加工分為二類：

- (1)冷軋，壓下率98.8%，試樣的最後厚度為0.15毫米；
- (2)熱軋，900°C熟煉，冷軋，壓下率64.5%；700°C熟煉，冷軋，壓下率63.5%；試樣最後厚度為0.35毫米。

軋制後試樣的熱處理條件如下：第一類和第二類試樣均分別在(a)650°C熟煉，保溫10分鐘；和(b)1000°C熟煉，保溫同樣10分鐘。俱在氫氣中處理，試樣隨熱處理爐升溫。

用X-射線攝照前，試樣腐蝕到0.04~0.05毫米，腐蝕劑為一份硝酸與三份水。所用為MoK α 輻射，照相為透過法。

金相觀察是在試樣軋面上進行，腐蝕劑為5%硝酸酒精，照相放大100倍。

三. 實驗結果

第一類材料加工後試樣的軋制組織用X-射線測定所得的結果如圖1。晶粒主要取

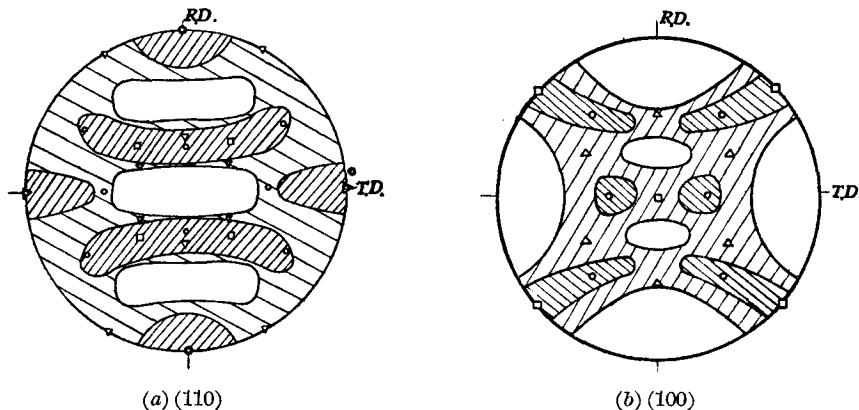


圖1. 冷軋壓下率98.8%純鐵極圖

□—(100)[011], ○—(112)[110], △—(111)[112]
R. D.—軋向, T. D.—橫向(下同)

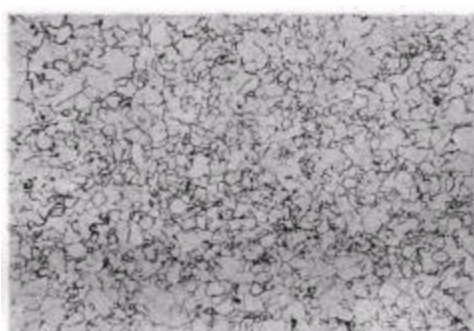
向為(100)[011]+(112)[110]+(111)[112]。這(100)[011]取向沿着橫向軸大約偏10°。圖2為顯微組織。從圖上可以見到材料經過很大的變形，有些晶粒碎化，且沿着軋制方向拉長。

第一類熟煉後的試樣，在650°和1000°C熟煉後的再結晶組織基本上是相同的，如

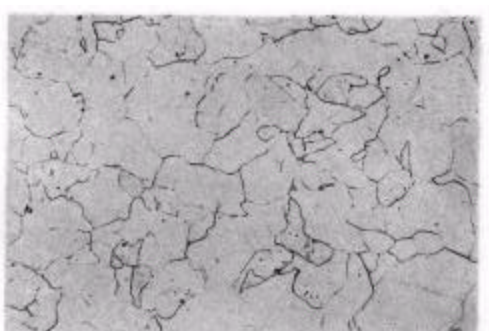


→ R. D.

圖 2. 冷軋壓下率 98.8% 純鐵顯微組織
(5% 硝酒精, 放大 100 倍, 下同)

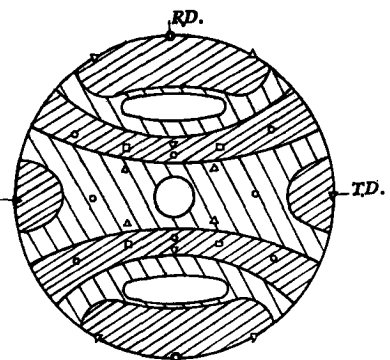


→ R. D.
(a)

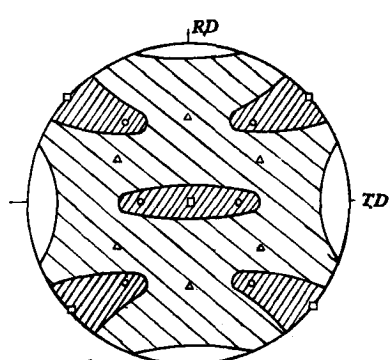


→ R. D.
(b)

圖 4. 冷軋壓下率 98.8% 再結晶顯微組織
(a) 650°C 热炼, 保温 10 分; (b) 1000°C 热炼, 保温 10 分

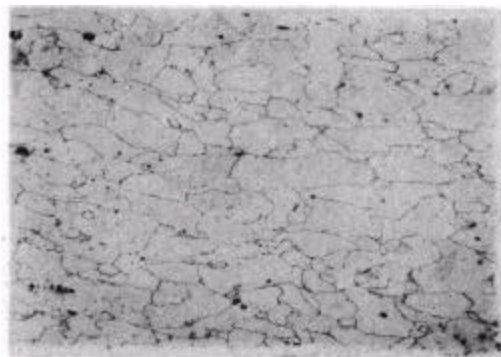


(a) (110)



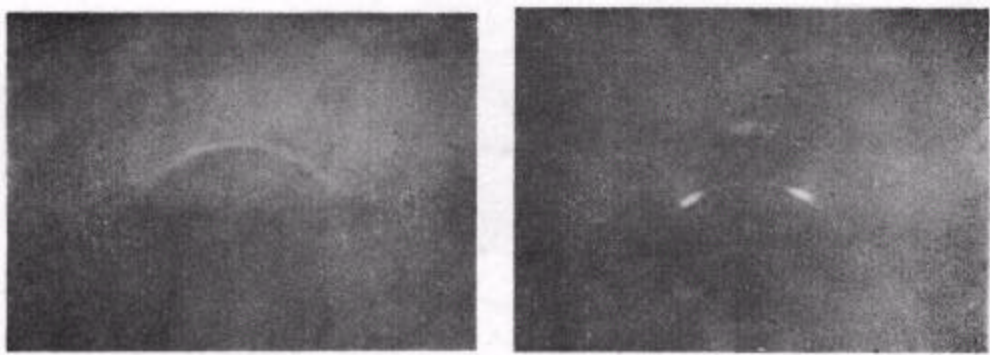
(b) (100)

圖 5. 二次冷軋純鐵極圖
□—(100)[011], ○—(112)[110], △—(111)[112]



→ R. D.

圖 6. 二次冷軋純鐵顯微組織



→ R. D.

→ R. D.

圖 7. 二次冷軋純鐵(表面)衍射圖。X-射
線光束与横向成 10°

圖 8. 二次冷軋純鐵(內部)衍射圖。X-射
線光束与横向成 10°

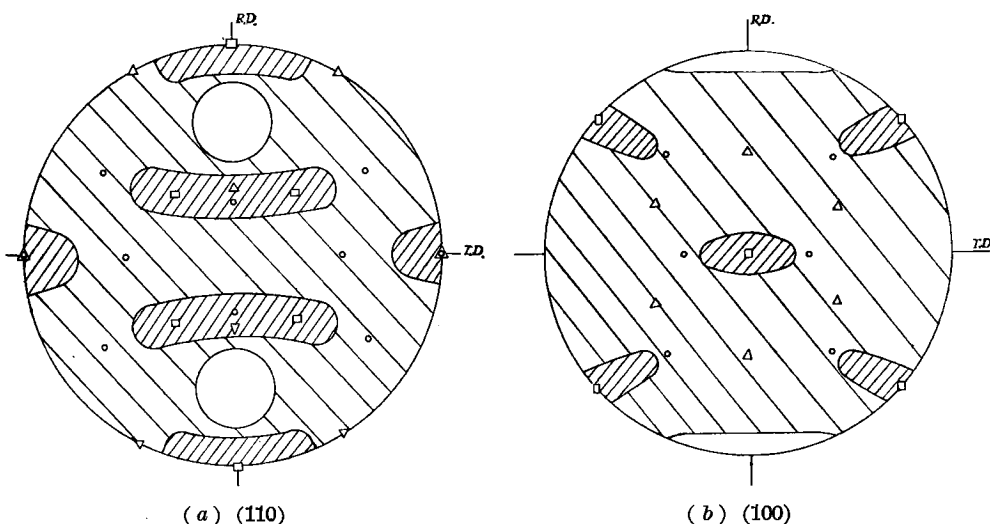
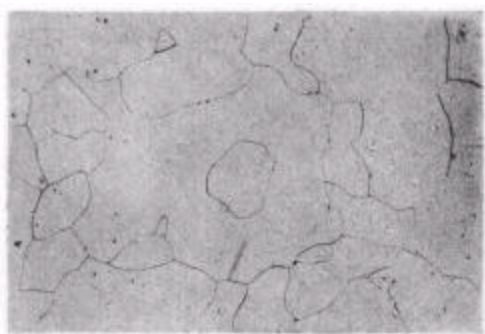


圖 9. 二次冷軋純鐵, 1000°C 再結晶極圖

□—(100)[011], ○—(112)[110], △—(111)[112]



→ R. D.

圖 10. 二次冷軋純鐵顯微組織 1000°C 热炼, 保温 10 分

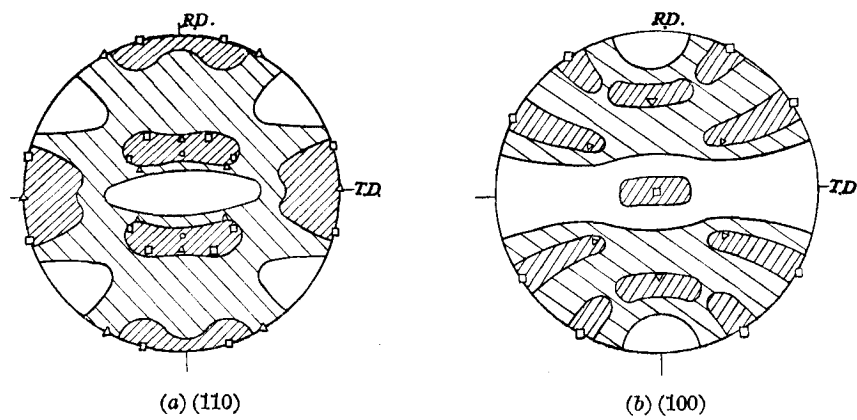


圖3. 冷軋壓下率98.8%純鐵650°C再結晶極圖
□—(100)[011]垂直軋面轉動15°, △—(111)[112]

圖 3. 這裡的主要取向為 $(100)[011]$ 異軌向約 15° 和 $(111)[\bar{1}\bar{1}2]$ ，而軌制織構 $(112)[1\bar{1}0]$ 已接近全部消失。圖 4 表示第一類試樣熟煉后的顯微組織。第一類試樣其表面織構與內部相同。

第二类加工后試样的軋制織構与第一类試样軋制織構相似，但是由于第一类材料的变形度比第二类的高，所以在極圖上（見圖 5）可以觀察到第二类軋制織構偏離的角度比第一类大，从顯微組織也可以發現第一类試样晶粒的变形（圖 2）較第二类的（圖 6）要剧烈很多。

第二类試样的軋制表面織構(圖7)和內部織構(圖8)有區別。在表面層上具有 $(110)[001]$ 取向,这是很有趣的事實。

第二类試样在 650°C 熟煉后的再結晶織構与軋制織構基本上相同，但在 1000°C 熟煉后的再結晶織構其(100)[011]取向是加强了一些(圖9)。

第二类材料在熟炼后表面織構与内部相同，在显微組織上，升温在 1000°C 的試样显示出二次再結晶現象(圖 10)。

四、討論

冷軋織構中所測定的取向与 Hibbard 和 Yen (顏鳴皋)^[6] 所提的論点相符。

第一类材料熟炼后的再結晶織構 $(112)[1\bar{1}0]$ 轉动成为 $(100)[011]$ 成分，这結果与 Kurdjumov 和 Sachs^[1] 对电解鐵所进行的結果也是相符的。

第二类材料再结晶織構与加工織構相同，但是在这类变形材料的表面層上觀察到有(110)[001]織構，当腐刻至25%以下，这类織構消失。在熟煉后再結晶織構內表面層上也有(110)[001]存在，但不显著。我們正进行較多的實驗，作进一步推理上的依据。

从極圖結果可以見到，第二類材料織構偏離角度比第一類大，這是偏離角度與壓下率有關；即壓下率低，偏離角度大。

五、結論

1. 第一类和第二类加工试样的冷轧织构有三个主要取向，即 $(100)[011]$ +

+ (112) [1 $\bar{1}$ 0] + (111) [11 $\bar{2}$].

2. 第一类再結晶織構是(111) [11 $\bar{2}$]和沿着垂直于軸面旋轉15°的(100) [011]織構。
3. 第二类試样的表面冷軋織構與內部不同，表面層具有(110) [001]織構。
4. 第二类試样再結晶織構與冷軋織構基本上相似，并且表面織構與內部織構無甚區別。

参 考 文 献

- [1] Kurdjumov, G. u. Sachs, G., *ZS. für Physik* **62** (1930), 592.
- [2] Gensamer, M. and Lustman, B., *Trans. A. I. M. E.* **125** (1937), 501.
- [3] Gensamer, M. and Vukmanie, P. A., *Trans. A. I. M. E.* **125** (1937), 507.
- [4] Goss, N. P., *Trans. Am. Soc. Steel Treat.* **16** (1929), 405.
- [5] Goss, N. P., *Trans. A. S. M.* **29** (1941), **20**; 45 (1953), 33.
- [6] Hibbard, W. R. and Yen, M. K. (顏鳴皋), *Trans. A. I. M. E.* **175** (1948), 126.

THE ROLLING AND RECRYSTALLIZATION TEXTURES OF ARMCO IRON

TAI LI-CHI CHANG SIN-YU

(Iron and Steel Research Institute, Peking)

ABSTRACT

A study of the preferred orientations and microstructure of armco iron after cold reduction and recrystallization has been made.

The treatments consisted of hot-rolling the material into strips and (1) a cold reduction of 98.8 percent or (2) two cycles of cold reduction of about 64 percent with an intermediate anneal. All these specimens for recrystallization were treated in hydrogen at 650° and 1000°C.

The components after deformation for material (1) were found to be (100) [011] + + (112) [1 $\bar{1}$ 0] + (111) [11 $\bar{2}$]. The primary orientations of the specimens treated in α and γ regions were determined as (100) [011] and (111) [11 $\bar{2}$].

The cold rolling textures of material (2) were found to be the same as those of (1), the deviation angle being larger. The surface texture was different from the texture possessed by inside of the sheet. The microstructure showed the phenomena of secondary recrystallization for the samples treated at higher temperature.